УДК 551 793.89

В. П. ГРИЧУК, Т. А. АЙРАПЕТЯН

РАЗРЕЗ ПЛЕЙСТОЦЕНОВЫХ КОНТИНЕНТАЛЬНЫХ ОТЛОЖЕНИЙ ГАМЗАЧИМАНСКОЙ КОТЛОВИНЫ

Комплексное изучение разрезов (палеонтологические, палинологические, налеогеоморфологические и литолого-фациальные анализы) плейстоценовых озерно-континентальных отложений межгорных впадин центральной части Малого Кавказа, содержащих богатый ископаемый материал, позволило выявить ритм изменения палеогеографических условий в процессе формирования делины Палеопамбак и внести определенные коррективы в стратиграфию и хронологию плейстоцен-голоцена Памбак-Севанской зоны.

В статье рассматривается строение разреза плейстоценовых континентальных отложений, вскрытых скважиной 599 в правобережье верховья р. Агстев, в 1,5 км к востоку от с. Фиолетово, т. и. Фроловой балке, в древней синклинальной долине, высотой 43 м от уреза воды р. Агстев (абсолютная отметка устья скважины 1672,5 м) восточнее древнегамзачиманского озерного водоема.

Фролова балка, где пробурена скв. 599, является частью древней Памбакской долины и соединяет ее с верховьями р. Дзыкнагет и оз. Севан. Во время накопления озерных и озерно-аллювиальных отложений здесь располагался озерный бассейн, непосредственно связанный проливом с Гамзачиманским озером. Эта связь нарушилась в конце позднего плейстоцена в связи с активизацией неотектонических движений и подпруживанием устьевой части Фроловой балки, поднятнем по разлому у с. Фиолетово и возникновением оползневой перемычки, отделившей Фролову балку от Гамзачиманского озера. Вероятно, озеро занимало водораздельное положение между бассейнами рек Памбак и Агстев. В ряде случаев увеличиваются фациальные переходы между озерно-аллювнальными отложениями Гамзачиманской впадины (верхние слои) и аллювием П1 террасы рек Памбак—Агстев. Эти аллювии обнажаются у с. Лермонтово, датем, погружаясь под пролювнально-делювиальные конусы, вновь появляются у с. Фиолетово [7].

Уровень озера колебался. Верхине слон разреза накапливались уже в условнях стока в сторону р. Агстев, подпруженного подвижками по разлому, пересекающему верховья этой реки.

Более молодые террасы рек (1 п II) врезаны в озерную толщу. Эти террасы прослеживаются по всей долине р. Намбак вплоть до с. Лермонтово и через слабо выраженный водораздел переходят в долину р. Агстев, местами погружаясь под пролювиальный конус рек Агстев—Тандзут. Здесь фиксируется разрез галечных отложений, уплотненных гидротермальными растворами, слагающих II, III, IV террасы правобе-

режья верховья р. Агстев. Фациальный анализ указанных галечников, прослеживаемых в долине рек Памбак—Агстев, дает основание полагать, что накопление их происходило при усилении плювиальных условий и увеличении водных масс, вызванных таянием ледников последнего оледенения.

Эти явления характерны для всей территории Малого Кавказа и Вулканического нагорья Армении.

Рассматриваемая толща древних озерно-аллювиальных отложений, в которую врезаны I и II террасы рек Памбак—Агстев, формировалась в эпоху стадиального отступания ледников последнего оледенения (вюрма). Учитывая время накопления аллювия $Q_{\rm HI}^4 - Q_{\rm IV}^4$, можно полагать, что накопление рассматриваемых верхних слоев озерно-аллювиальной толщи, вскрытой скважиной 599, происходило в период, соответствующий сгадиям и интерстадиалам после максимальной фазы последнего оледенения.

Эти соображения, вытекающие из налеогеоморфологического анализа, получают свое подтверждение в материалах спорово-пыльцевого анализа образцов керна из скв. 599, вскрывшей лишь верхние слон озерно-иллювиальных отложений Гамзачиманской котловины.

Ниже приводится описание этого разреза (сверху вниз):

- 1. Почвенный слой суглинистого состава со щебнем и дресвой $(0,0-0,4\ m)$.
- 2. Глина темпо-серая, почти черная, илистая с редкими включешнями щебня и дресвы (0,4-0,6 м).
- 3. Песок разнозеринстый с преобладанием грубой фракции со щебнем и гравием, слабо сцементированный желтовато-коричневым глинистым материалом $(0,6-2,1\ m)$.
- 4. Глипа уплотненная, зеленовато-голубовато-серая, жирная с тонкими прослоями разпозернистых песков и щебия $(2,1-2,5\ m)$.
- 5. Щебнисто-песчано-дресвяный групт с глинисто-суглинистым заполнителем, голубовато-серого цвета $(2,5-3,5\ m)$.
- 6. Глина голубовато-зеленовато-серая, при высыхании приобретает желтовато-зеленый оттенок, начиная с 4,0 м слой представлен разно-зернистыми песками с прослойками гравия и цебия (3,5—5,7 м).
- 7. Супесь зеленовато-серая с разнозерпистым песком, гравием и мелкими гальками (водоносный слой) (5,7—8,0 м).
- 8. Глина темно-серая, почти черная, илистая с прослоями и линзами разнозернистых гравелистых несков, щебия и плохоокатанных мелкогалечников $(8,0-10,0\ m)$.
 - 9. Песок разпозерпистый с гравием и щебнем (10,0—15,0 м).
- 10. Глина темно-серая с голубоватым оттенком, вязкая, уплотненная, верхи слоя с прослойками и линзочками разнозернистых песков и несчанистых глин (15,0—17,5 M).
 - 11. Илисто-глинистый грунт (кери не получеи).

Общая мощность озерно-аллювиальных отложений, вскрытых скв. 599, равна 17,5 $\it m$.

Кери из скважины был подвергнут спорово-пыльцевому анализу М. П. Гричук. В каждом образце определены 300—460 зерен. Определены 26 родов и видов древесных и травянистых растений. Определен 41 таксон.

Во многих образцах обнаружены креминевые панцири днатомовых водорослей, части хитинового скелета ветвистоусых рачков и споры печеночных мхов. Эти ископаемые указывают на озерный и озерно-аллювиальный генезис осадков.

Отсутствие признаков существенных перерывов в процессе осадконакопления, выраженных в литологических особенностях вскрытых огложений или в резких сменах спорово-пыльцевых спектров, позволяет рассматривать характеризуемую толщу как результат одного цикла седиментации. Характер флоры и количественные соотношения компонентов спорово-пыльцевых спектров показывают, что накопление большей части толщи происходило в условиях криоксеротической климатической стадии [4] и только самые верхние горизонты, начиная с глубипы около 1,40 м, накапливались в начальный отрезок термоксеротической стадии (рис. 1).

Наличие во всем разрезе представителей только современной дендрофлоры северной Армснии и примыкающих районов позволяет утверждать, что эти отложения не могут быть древнее позднего плейстоцена.

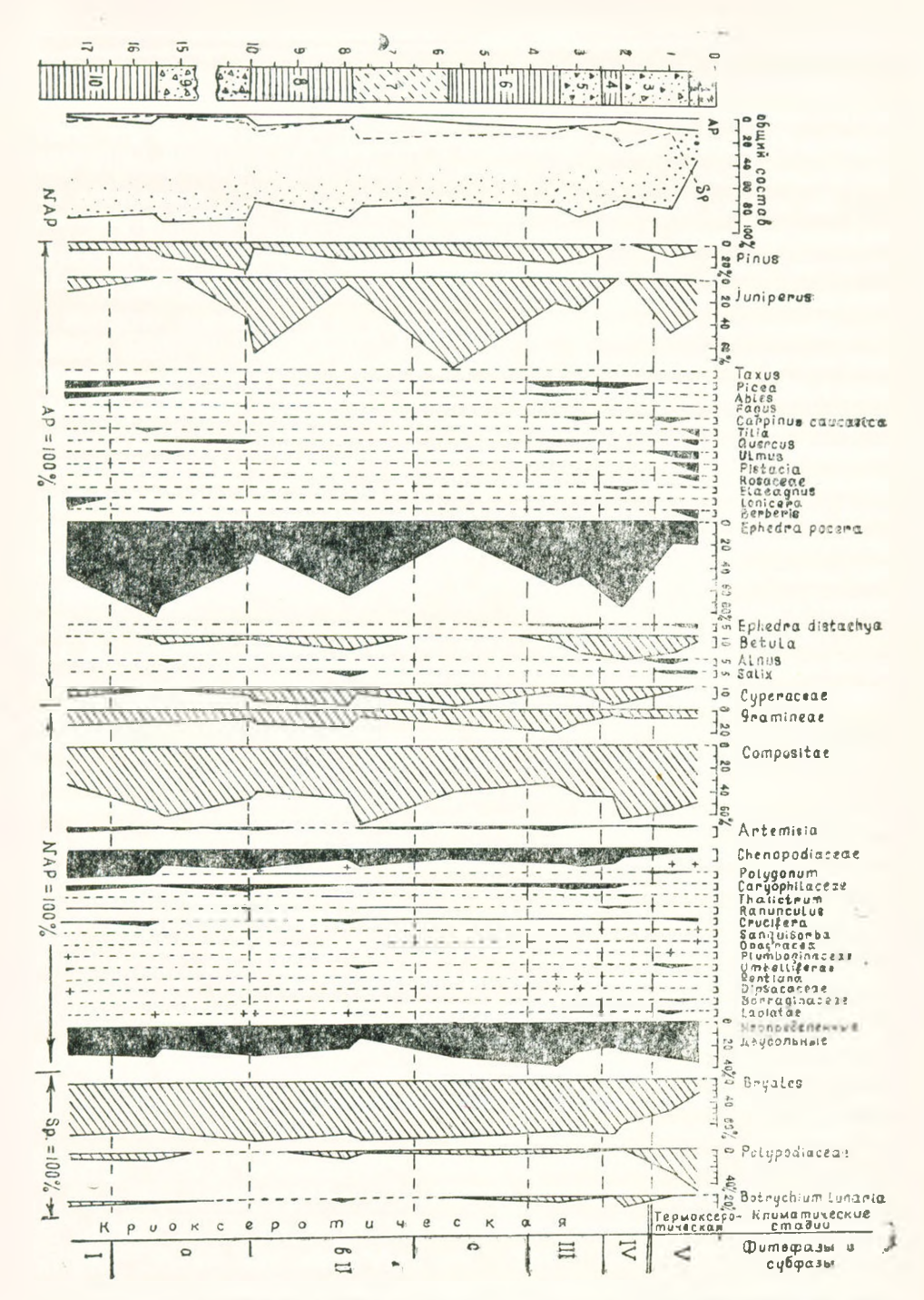
По достаточно характерному составу пыльцы древесных пород, верхний горизонт должен быть отнесен к раннему голоцену. Отсутствие следов перерыва в осадконакоплении дает основание отнести лежащие ниже слои ко времени, непосредственно предшествующему голоцену, т. е. ко времени последнего оледенения.

Приуроченность седиментации этих слоев к криоксеротической стадии позволяет угочнить их сопоставление с этапами оледенения. Анализ флористических и гляциологических материалов по Русской равные и горным районам юго-восточной Европы ноказал, что переход от криогигротической к криоксеротической стадии очень близко совпадает с максимальной фазой оледенения [5]. Таким образом имеем основание всю толщу осадков, вскрытых скв. 599, отнести к эпохе после максимума последнего оледенения Малого Кавказа, т. е. ко времени его деградации.

В слоях на глубине от 4,0 до 10,0 м установлено крайне незначительное содержание пыльцы древесных и кустаринковых растений (в итеделах 3—10%) и практически полное отсутствие в них пыльцы основных месообразующих пород¹. Это дает основание считать, что тиничая лесная растительность во время накопления этого горизонта отсутствовала не только в бассейне верховий р. р. Агстев—Памбак, но и в прилегающих территориях. Данное обстоятельство, свидетельствущиее о глубокой климатической депрессии, позволяет коррелировать

¹ При таком низком содержании пыльцы древесных пород, пыльца сосны, присутствующая в этих отложениях в количестве 10—20%, несомненно является дальнезаносной [6].

Пзвестия, XXIX, № 6-3



чс. 1. Спорово-пыльцевая диаграмма разреза озерных и озерно-аллювиальных отлокений, скв. 599. АР—пыльца деревьев и кустаринков; NAP—пыльца трав; SP—споры. —фитофаза фриганоидной растительности и хвойных лесов. П—фитофаза фриганоідной растительности: а-субфаза лубово-березового редколесья; в—субфаза субальпийских березняков; с—субфаза можжевеловых редколесий. ПП—фитофаза субальпийских березняков и смещанных лесов. IV—фитофаза фриганоидной растительности березового редколесья и альпийских лугов. V—фитофаза можжевелового редколесья

данные слои с одкой из стадий оледенения, в той его фазе, когда гляциальная обстановка была еще ярко выражена. В дальнейшем, для удобства изложения материала, будем обозначать ее как «постмаксимальная стадия», не предрешая этим окончательное установление ее стратиграфического положения. Лежащие ниже слои—с глубины 16,5 м, спорово-пыльцевые спектры которых выявляют несколько более богатую растительность, очевидно, должны быть сопоставлены с интерстадиальной эпохой. Экологические особенности представленных в них растений, несомненное обилие в них типичных ксерофитов позволяют относить время их накопления также к криоксеротической стадии. Следовательно, и этот интерстадиал должен быть отнесен ко времени после максимальной стадии последнего оледенения.

В табл. 1 приведены результаты соответствующих подсчетов для 6 образцов, выделенных (как типичные) для тех горизонтов, на которые может быть расчленена толща осадков, вскрытых скважиной 599.

Таблица l Характеристика относительного богатства флоры травянистых цветковых растений в отложениях, вскрытых скв. 599

Интервал глубин (м)	Горизонт (фигофаза и субфаза)	№ типич- иого об- разца	Число подсчитанных зерен пыльцы травяни- стых растений		вянистых	Число пред- ставленных се- мейств всех травянистых
			общая сумма	только двудольный	двудольных	растений
0,0-1,4 1,4-2,5 2,5-4,0 4,0-6,4 6,4-10,0 10,0-16,5 16,5-17,5	V IV III IIc IIB IIa	117 120 122 124 126 128 131	177 258 193 205 267 250 286	167 238 165 158 228 221 240	31 16 19 8 12 12 20	11 7 10 7 9 8 12

Сопоставление цифр, характеризующих число семейств и морфологические типы пыльцы травянистых растений, показывает, что в их изменениях выявляется определениая закономерность. Флора слоев в интервале глубии 0,0—1,4 м отличается наиболее высокими значениями этих показателей и, следовательно, является наиболее богатой. Это обстоятельство может рассматриваться как подтверждение правомерности отчленения данных слоев от подстилающей толщи и отнесения их к голоцену. В плейстоценовой толще выделяются слои в интервале глубии 4,0—6,4 м, для которых установлено минимальное значение обоих показателей. Это позволяет считать, что во время их накопления флора отличалась наибольшей бедностью, очевидно обусловленной значительным ростом суровости климата. Исходя из этого, данные слои должны быть сопоставлены с какой-то крупной стадией оледенения.

Изменение состава спорово-пыльцевых спектров и количественные соотношения их компонентов в сопоставлении с флористическими дап-

ными показывают, что за время накопления изученной толщи осадков характер растительности в долине р. Агстев существенно менялся. Здесь может быть выделен ряд фитофаз, каждая из которых соответствует времени длительного существования определенного типа растительного покрова (рис. 1, 2).

I—Фитофаза фриганондной растительности и хвойных лесов (интервал глубин 16,5—17,5 м).

11—Фитофаза фриганоидной растительности (интервал глубии 4,0—16,5 м). По признаку усиления выраженности некоторых формаций, имеющих подчиненное значение, подразделяется на три субфазы: а—дубово-березового редколесья; в—субальнийских березняков; с—можжевеловых редколесий (отмечается этап предельного обеднения флоры).

III—Фитофаза субальпийских березняков и смешанных лесов (интервал глубин 2,5—4,0 м).

IV—Фитофаза фриганоидной растительности березового редколесья и альпийских лугов (интервал глубин 1,4—2,5 м).

V—Фитофаза можжевелового редколесья и смещанных лиственных лесов (интервал глубин 0,0—1,4 м).

Имеющимися материалами стратиграфическая приуроченность этих фитофаз не может быть строго обоснована, тем более, что в истории последнего оледенения Малого Кавказа еще остается много неясностей. Однако по характеру фаций и спорово-пыльцевых спектров это достаточно типичные стадиальные и интерстадиальные отложения. В предварительном виде может быть предложена инжеследующая схема:

I фитофаза—интерстадиальная эпоха начального этапа деградации последнего оледенения;

II фитофаза – постмаксимальная стадия оледенения (максимум ее фаза — субфаза II с);

III фитофаза—интерстадиальная эпоха заключительного этапа деградации оледенения;

IV фитофаза-финальная стадия последнего оледенения;

V фитофаза--ранний голоцен.

Накопление всей толщи осадков в котловине (вскрытой скв. 599) относится к сухой, холодной эпохе позднего плейстоцена и начала голоцена, т. е. ко времени, близкому к интервалу 20000—10000 лет пазад [9], следовательно, осадконакопление шло со средней скоростью 1,75 м за тысячелетие. Такое определение, на первый взгляд, противоречит большой мощности отложений и предполагаемым малым количествам атмосферных осадков. Это противоречие устраняется следующими соображениями. Фациальный анализ верхнеплейстоценовых озерно-аллювиальных отложений Армянского нагорья и, в частности, долины р. Памбак в сочетании с палеогеоморфологическим развитием врезанных в них вюрмских террас, включающих остатки верхнепалеолити-

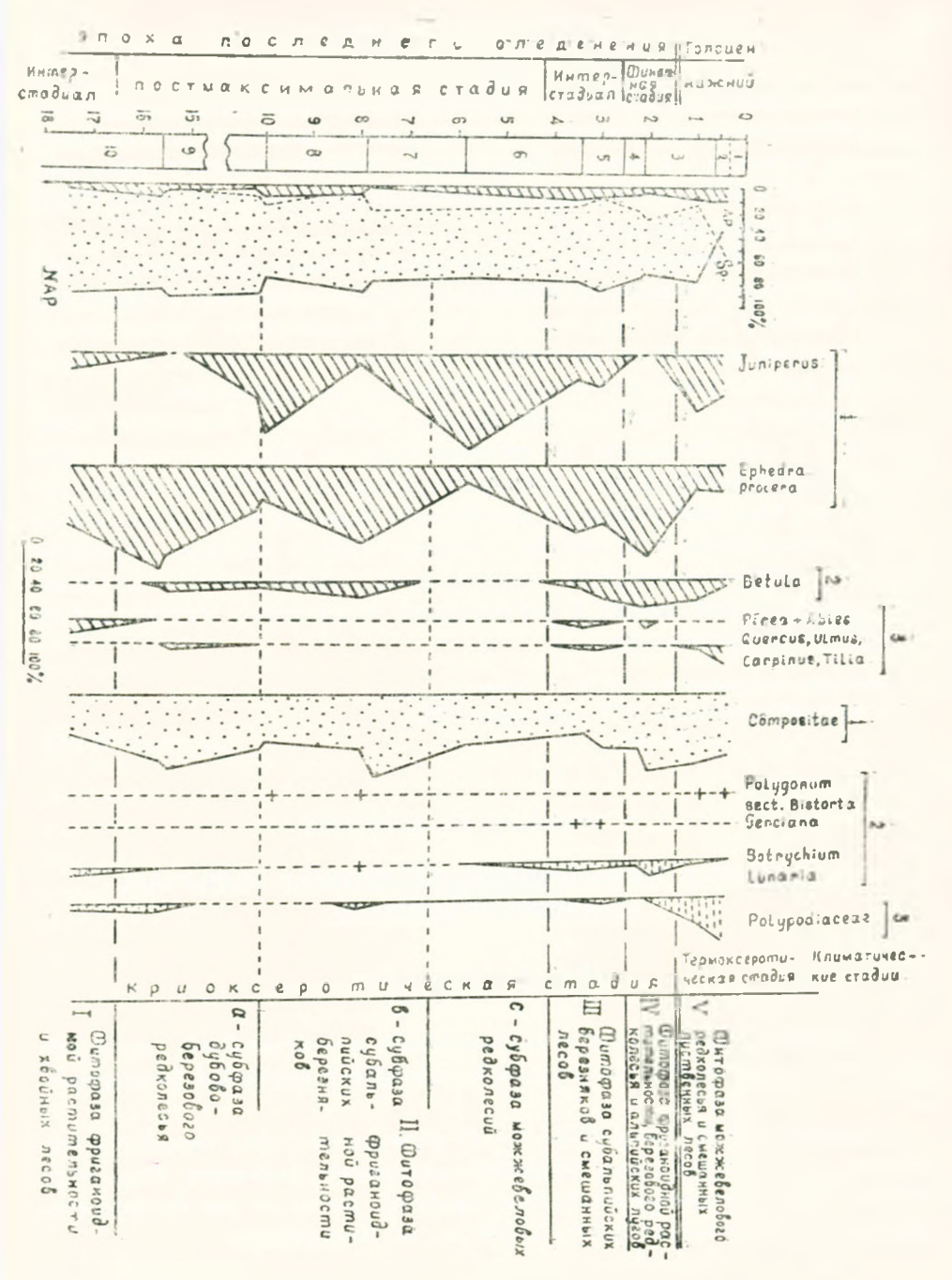


Рис. 2. Схема палеофитоценотического и стратиграфического расчленения отложений, вскрытых скв. 599, и некоторые элементы ее палинологического обоснования. 1—элементы фриганондной растительности; 2—элементы растительности альпийского ит субальпийского пояса; 3—элементы лесной растительности верхнего и среднего горного пояса.

ческого комплекса фауны [1, 2, 8] выявляет седиментацию, в основном, грубообломочных отложений. Они отлагались в условиях резкого похолодания климата, в период интенсивных неотектонических движений, вулканизма и усиленного размыва окружающих горных массивов (Памбакский и Халабский хребты).

В долине Фроловой балки представлены мощные накопления морен [3] среднечетвертичного оледенения, в которые врезаны V и более молодые террасы реки. Эти морены, легко поддающиеся эрозионно-денудационным процессам, являлись первичными продуктами для образования рассматриваемых озерно-аллювиальных отложений.

Имевшее место похолодание должно было резко уменьшить испаряемость и способствовать увеличению жидкого поверхностного стока. Кроме того, судя по составу пыльцы травянистых растений, можно полагать, что травяной покров на протяжении большей части времени был очень разряженным и не создавал сколько-нибудь плотного дернового покрова. Это обстоятельство должно было способствовать интенсивной поверхностной эрозин и аккумуляции терригенных материалов во впутригорных котловинах.

Институт географии АН СССР, г. Москва, Институт «Армгипрозем» МСХ Армянской ССР, г. Ереван

Поступила 7.Х.1976.

վ. Պ. ԳՐԻՉՈՒԿ, Թ. Ա. ՀԱՅՐԱՊԵՏՅԱՆ

ՀԱՄՋԱՉԻՄԱՆԻ ԳՈԳԱՎՈՐՈՒԹՅԱՆ ՊԼԵՅՍՏՈՑԵՆԻ ՑԱՄԱՔԱՅԻՆ ՆՍՏՎԱԾՔՆԵՐԻ ԿՏՐՎԱԾՔԸ

U of the nother of

Հոդվածում դիտարկվում է Համղաչիմանի գոգավորության արևելյան ծայրամասի պլեյստոցենի ցամաքային նստվածքների կտրվածքի կառուցվածթը։

Կտրվածքի վերին մասը (0,0—1,4 մ) վերագրվում է վաղ Հոլոցենին, իսկ ստորինը՝ (1,4—17,5 մ) վաղ Հոլոցենին անմիջապես նախորդող Փոքր Կով-կասում վերջին սառցապատման Հետմաքսիմալ, ցուրտ ու չոր ժամանակա-շրջանին, մոտավորապես 20000—10000 տ. ա. ինտերվալին։

ЛИТЕРАТУРА

- 1. Асланян А. Т. Региональная геология Армении. «Анпетрат», Ереван, 1958.
- 2. Аслачян А. Т. Стратиграфия вулканогенных пород Приереванского района (Арм. ССР). Известия АН Арм. ССР, серия физ.-мат., естеств. и технич. наук, т. XI, № 5, 1950.
- 3. Бальян С. П. Новые данные о древнем оледенении Армении. ДАН Арм. ССР, т. XXXVI, № 3, 1963.
- 4. Гричук М. П., Гричук В. П. О приледниковой растительности на территории СССР. В кн «Перегляциальные явления на территории СССР», МГУ, М., 1960.

- 5. Гричук В. П. Гляниальные флоры и их классификация. В кн. «Последний лединковый покров на северо-западе Европейской части СССР», «Наука», М., 1969.
- 6. *Кабайлене М. В.* Формирование пыльцевых спектров и методы восстановления палеорастительности. «Минтис», Вильнюс, 1969.
- 7. Милановский Е. Е. Памбакская долина. В кн. «Геология Армянской ССР», т. 1, «Геоморфология», Изд-во АН Арм. ССР, 1962.
- Мкртчян К. А. О памбакском комплексе ископаемых млекопитающих. Пзвестия АНК Арм. ССР, серия геологич. и географ. наук, т. XI, № 4, 1958.
- 9, Faibridge R. W. Climatology of a clacial Cycle. Quaternary Reserch, 1972.